

**ПРИЛОЖЕНИЕ I**  
**(карты, схемы)**

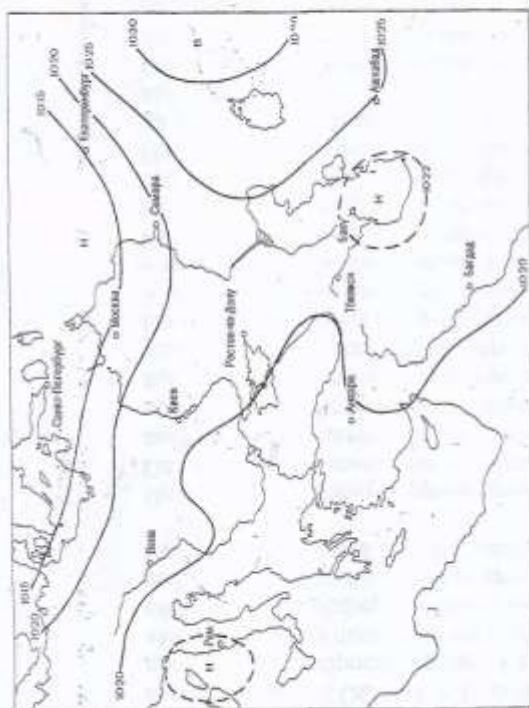


Рис. 1.1. Преобладающие барико-циркуляционные процессы в апреле.

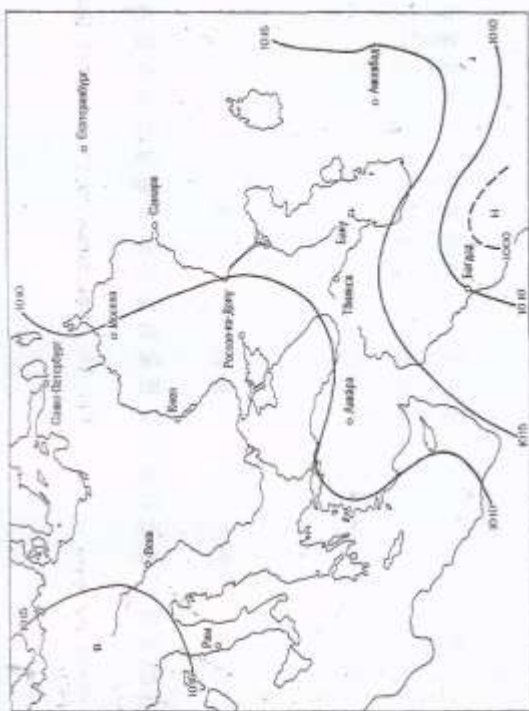


Рис. 1.3. Преобладающие барико-циркуляционные процессы в июне.

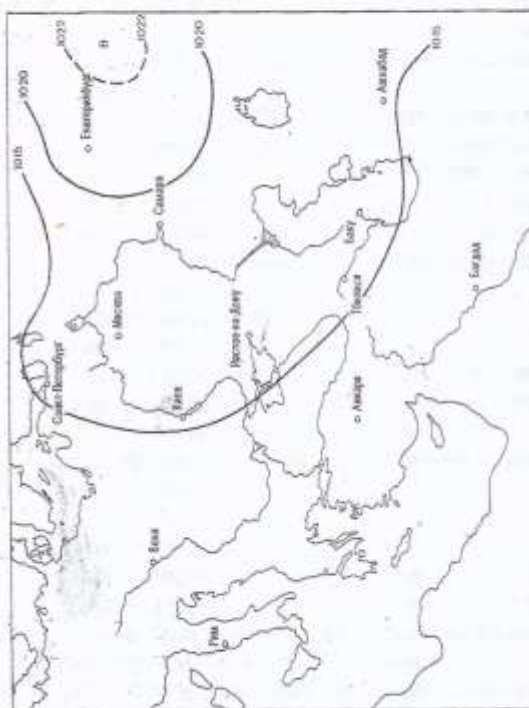


Рис. 1.2. Преобладающие барико-циркуляционные процессы в апреле.

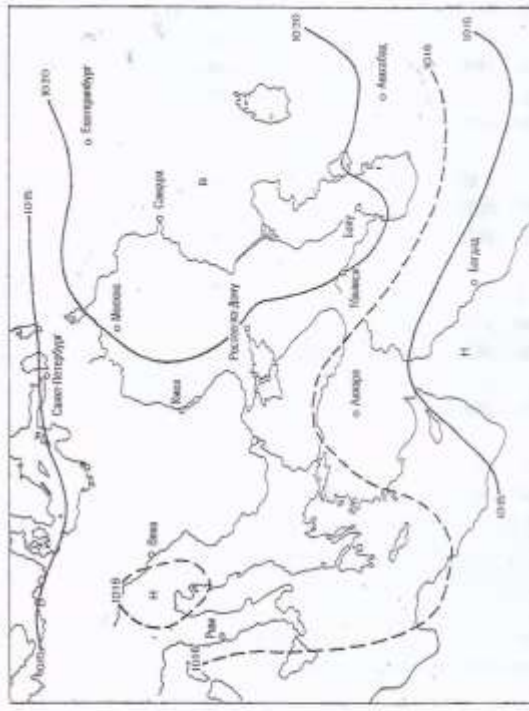


Рис. 1.4. Преобладающие барико-циркуляционные процессы в октябре.

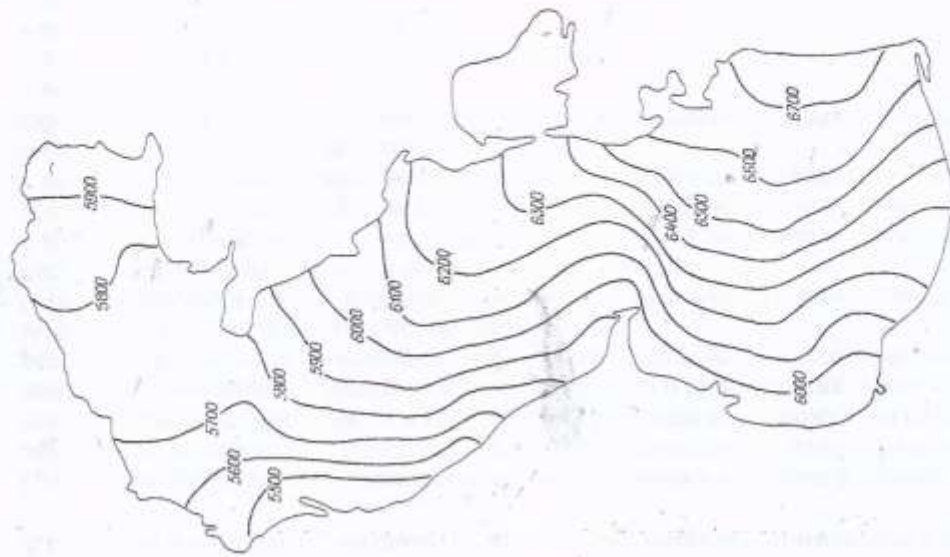


Рис. 1.5. Суммарная солнечная радиация за год (МДж/м<sup>2</sup>).

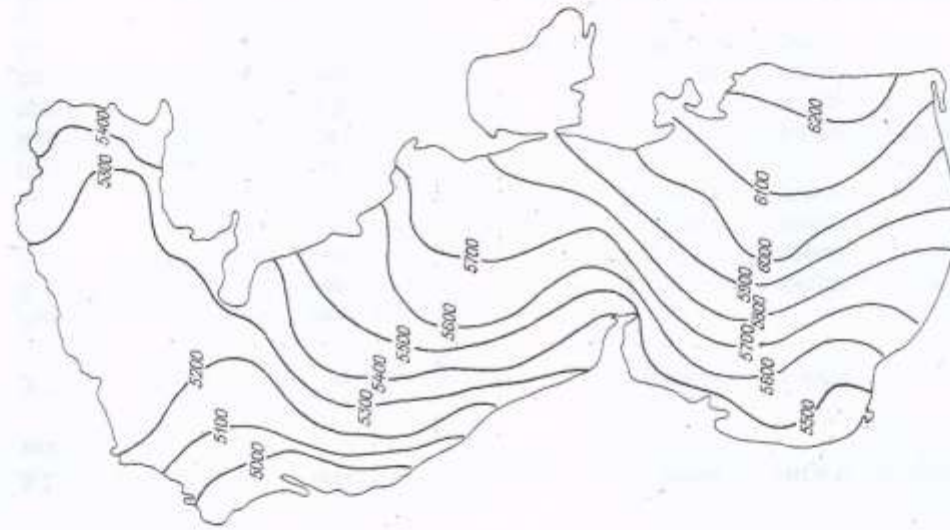


Рис. 1.6. Поглощенная солнечная радиация за год (МДж/м<sup>2</sup>).

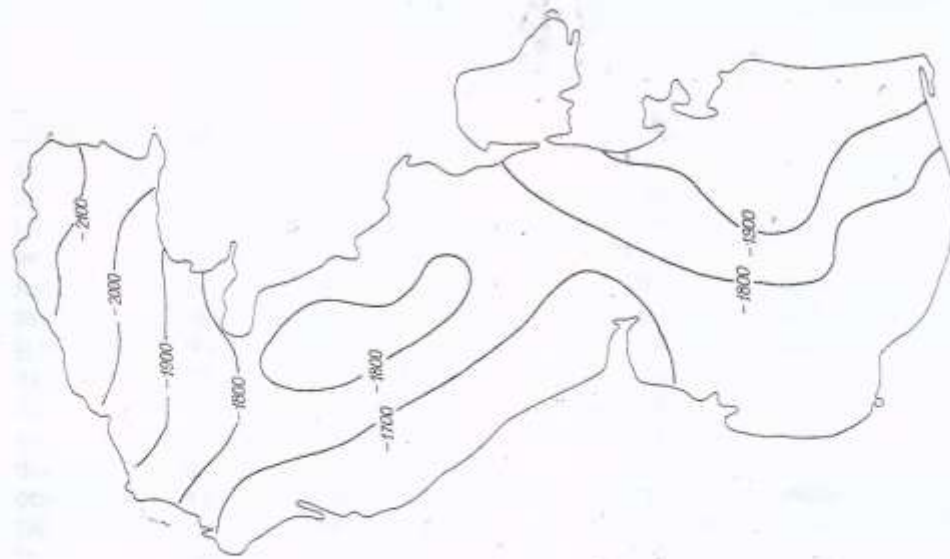


Рис. 1.7. Эффективное излучение за год (МДж/м<sup>2</sup>).

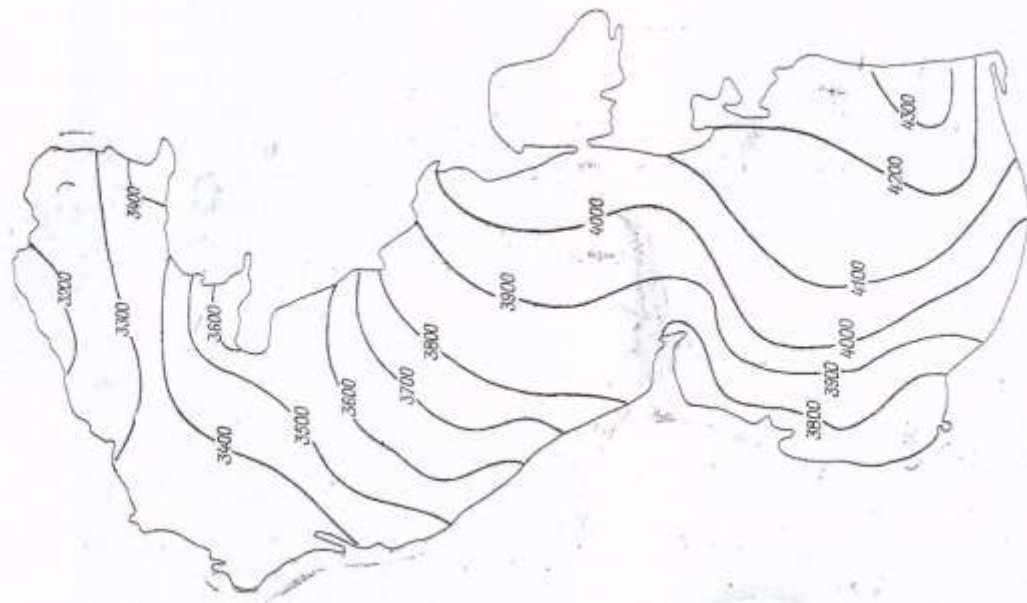


Рис. 1.8. Радиационный баланс за год (МДж/м<sup>2</sup>).

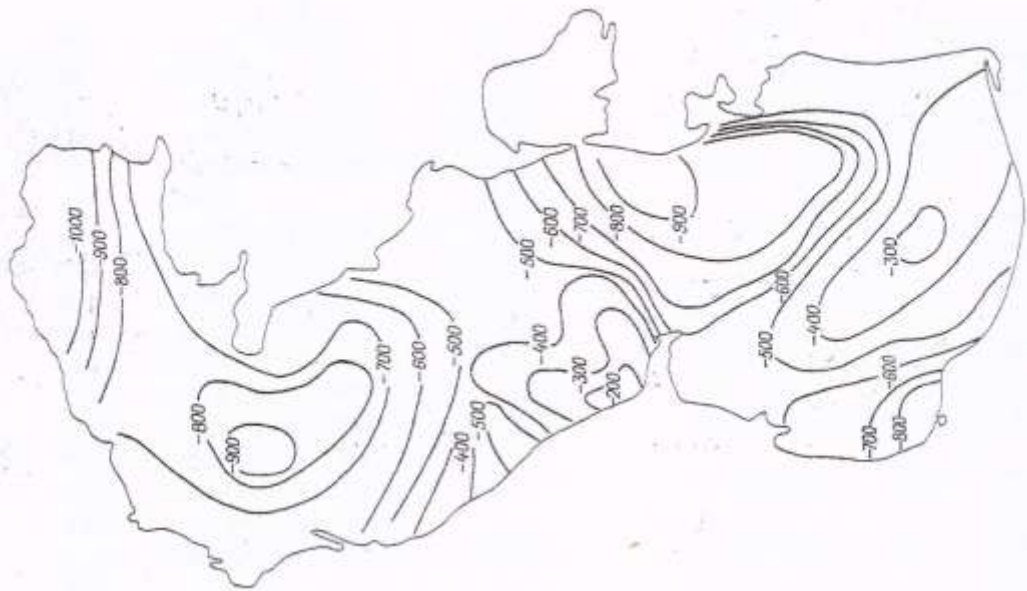


Рис. 1.9. Конвективно-турбулентный теплообмен за год (МДж/м<sup>2</sup>).

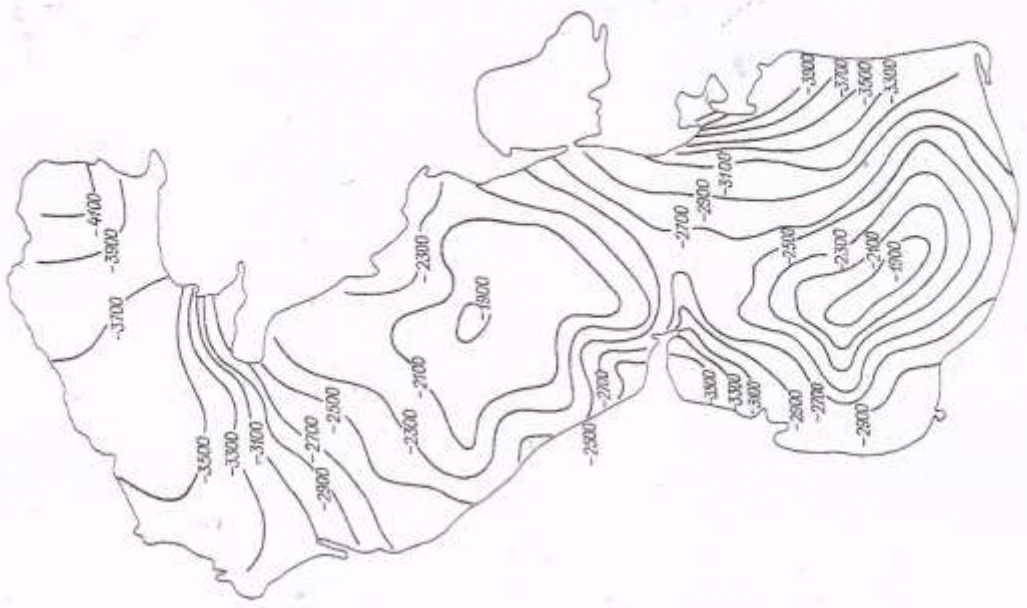


Рис. 1.10. Затраты тепла на испарение за год (МДж/м<sup>2</sup>).

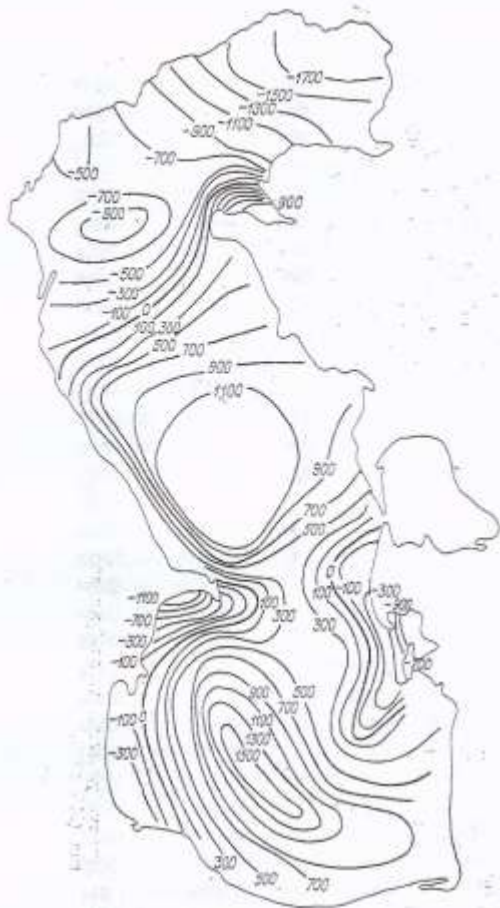


Рис. 1.11. Тепловой баланс за год (МДж/м²).

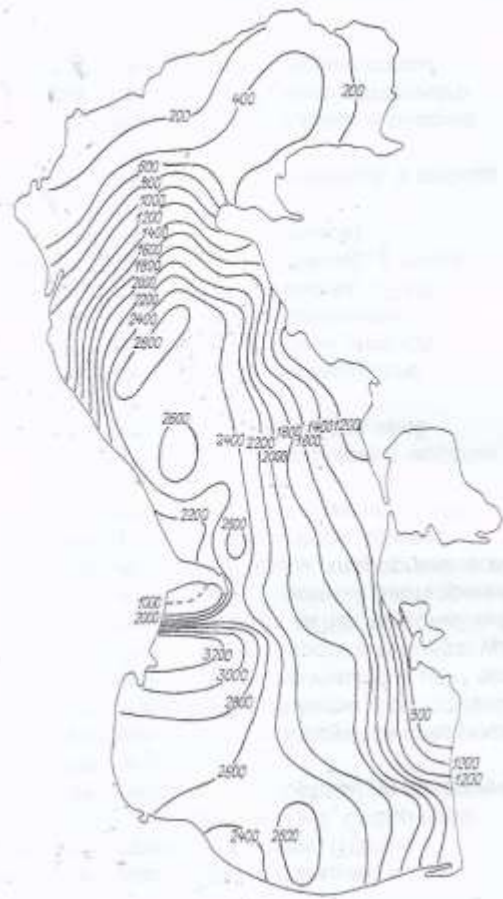


Рис. 1.12. Теплооборот Каспийского моря за год (МДж/м²).

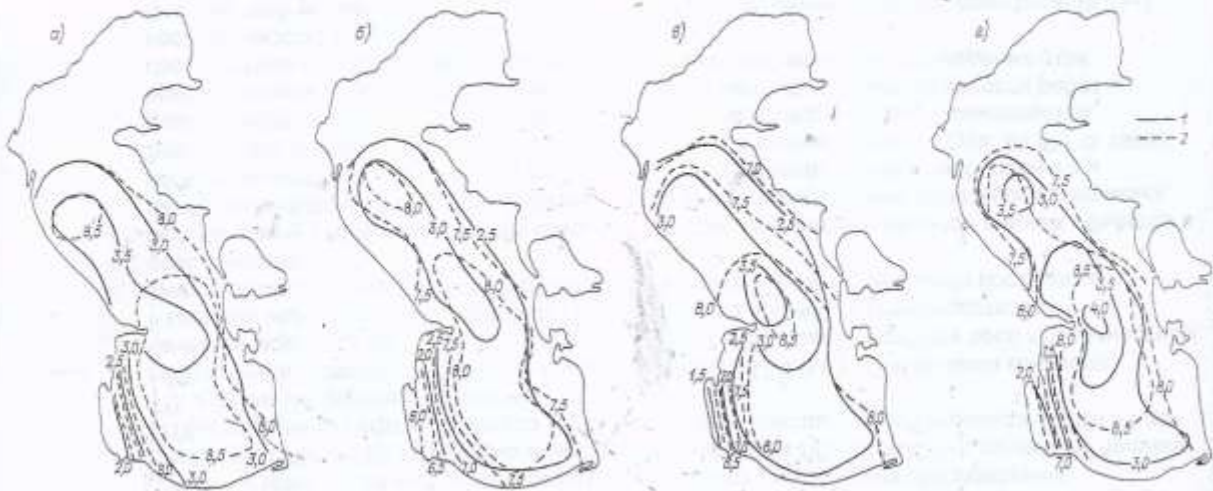


Рис. 1.13. Средние высота  $H$  (м) (1) и период волн  $\bar{T}$  (с) (2), возможные 1 раз в 5 лет в январе (а), апреле (б), июне (в) и октябре (г).

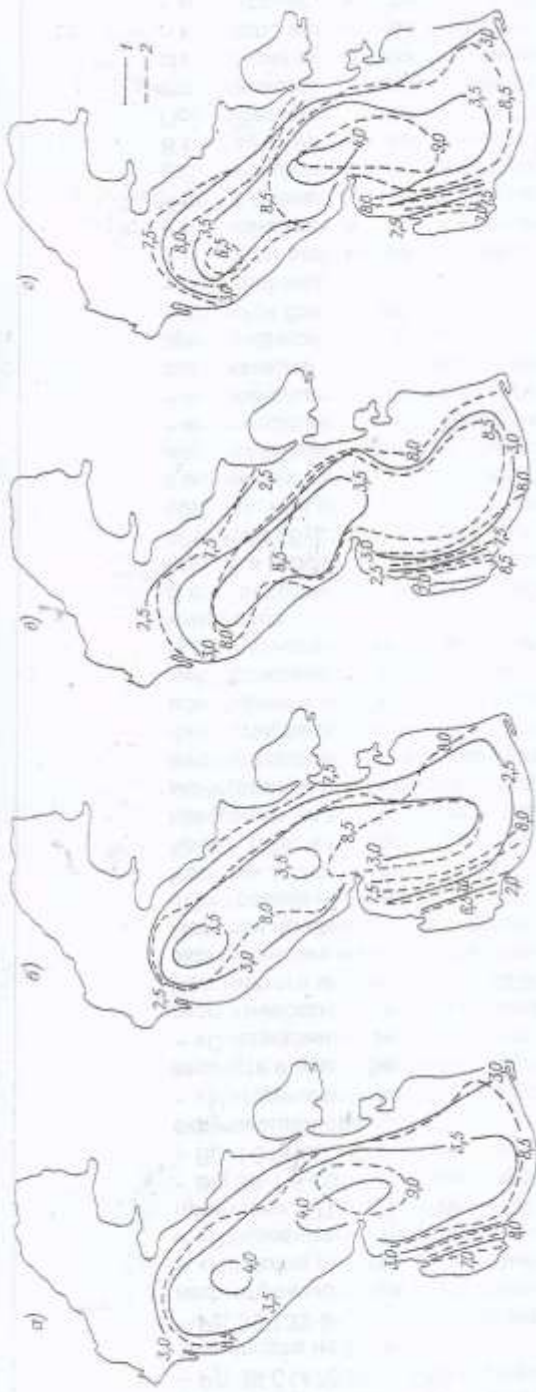


Рис. 1.14. Средние высоты  $h$  (м) (1) и период волн  $\bar{t}$  (с) (2), возможные 1 раз в 10 лет в январе (а), апреле (б), мае (в) и октябре (г).

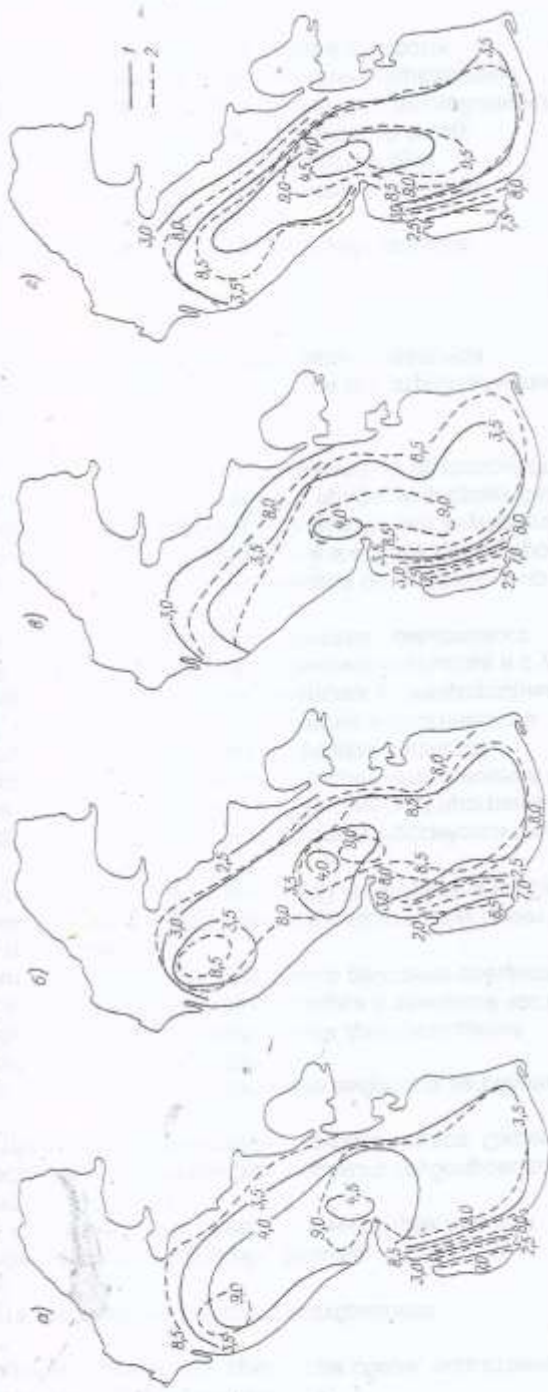


Рис. 1.15. Средние высоты  $h$  (м) (1) и период волн  $\bar{t}$  (с) (2), возможные 1 раз в 20 лет в январе (а), апреле (б), мае (в) и октябре (г).

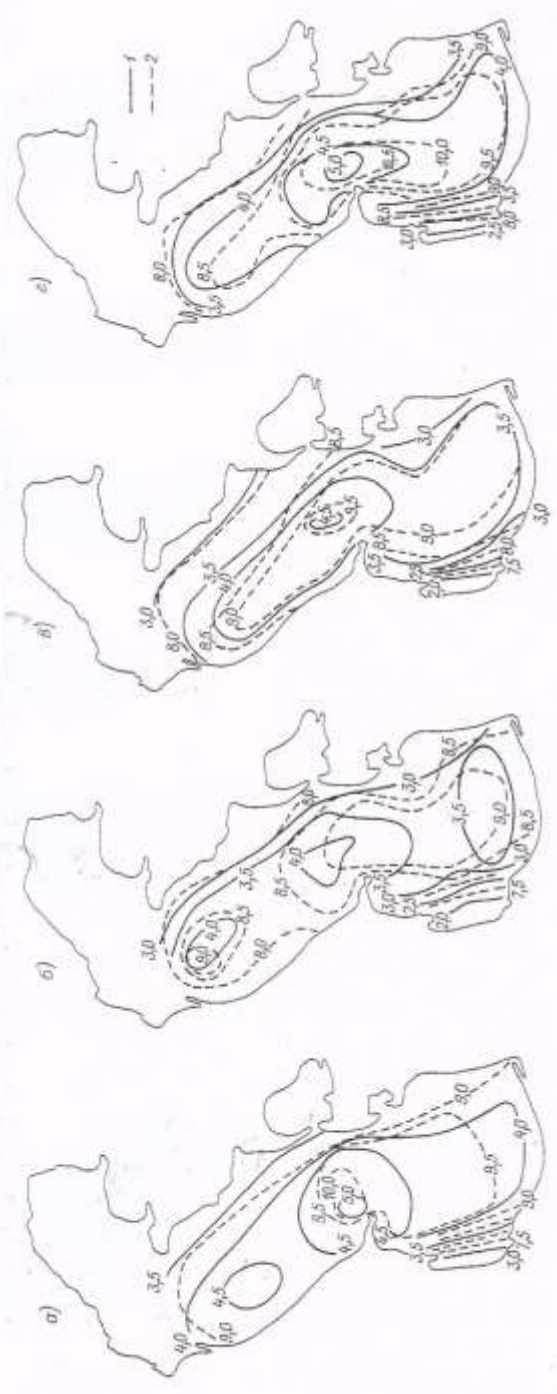


Рис. 1.16. Средние высоты  $\bar{h}$  (мм) (1) и период возврата  $T$  (2), возможные 1 раз в 50 лет в апреле (а), мае (б), июне (в) и октябре (г).

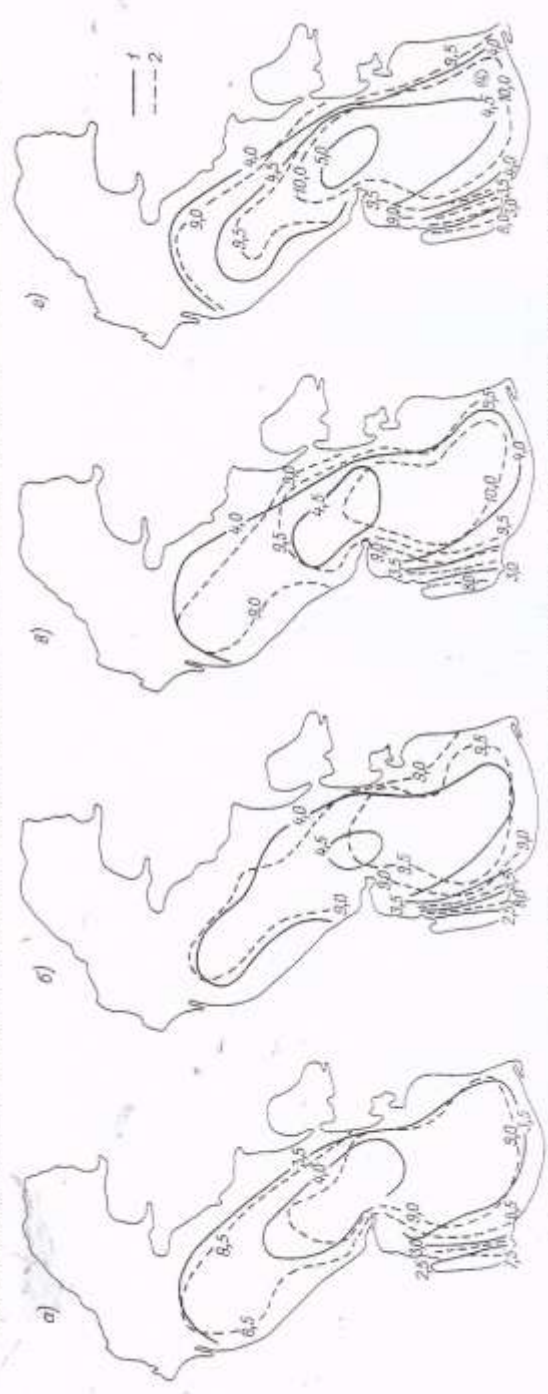


Рис. 1.17. Средние высоты  $\bar{h}$  (мм) (1) и период возврата  $T$  (2), возможные 1 раз в 5 (а), 10 (б), 20 (в) и 50 лет (г).

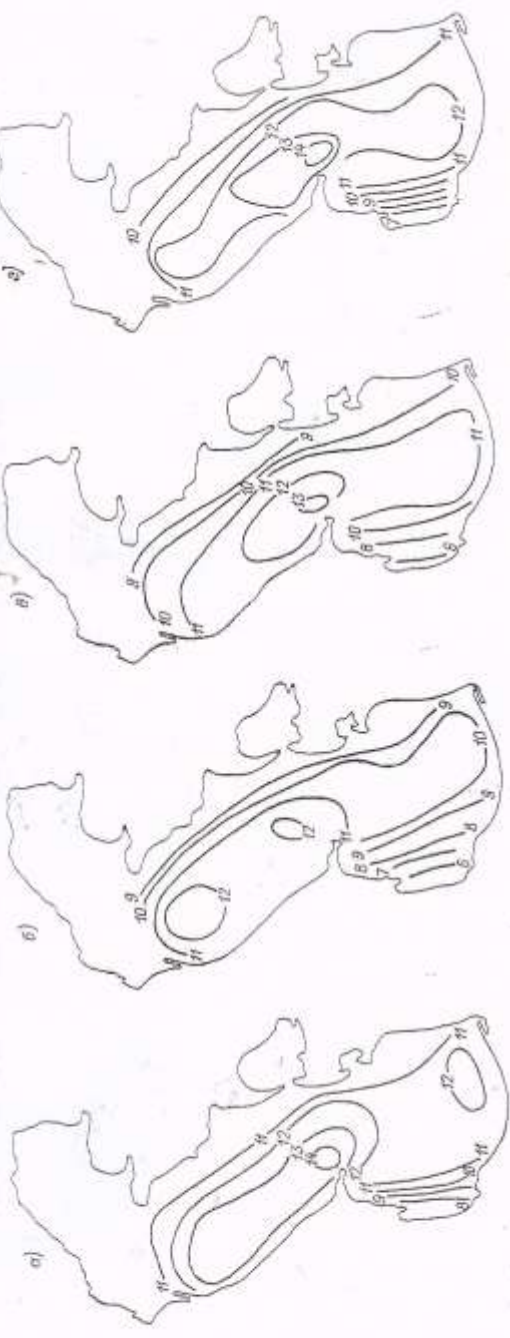


Рис. 1.18. Высота индивидуальных волн  $h_w$  (м), возможная 1 раз в 5 лет в январе (а), апреле (б), июне (в) и октябре (г).

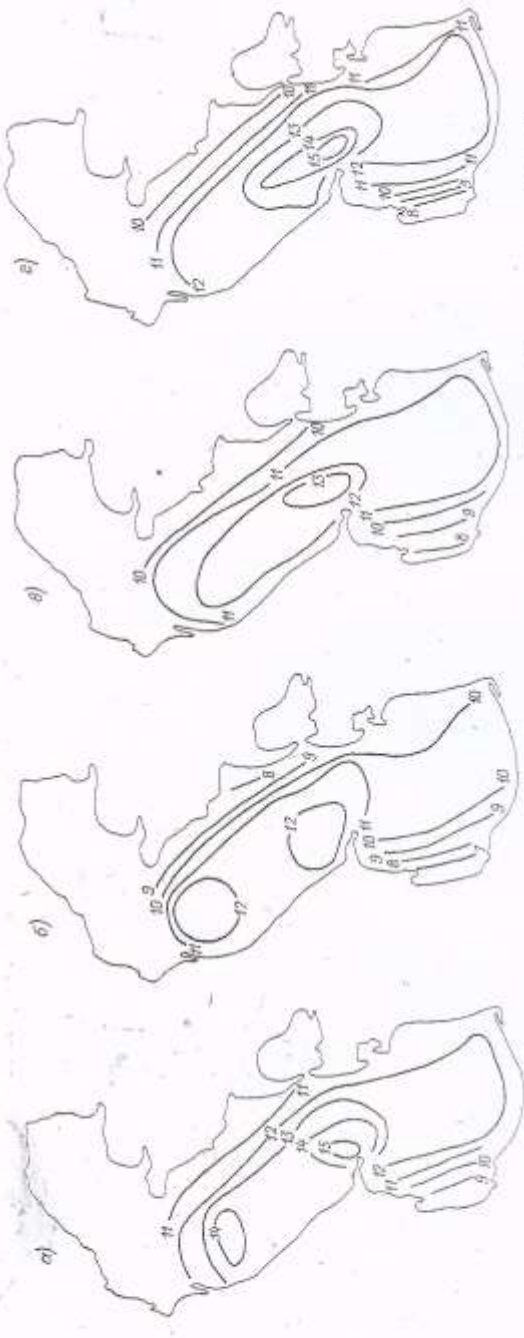


Рис. 1.19. Высота индивидуальных волн  $h_w$  (м), возможная 1 раз в 10 лет в январе (а), апреле (б), июне (в) и октябре (г).

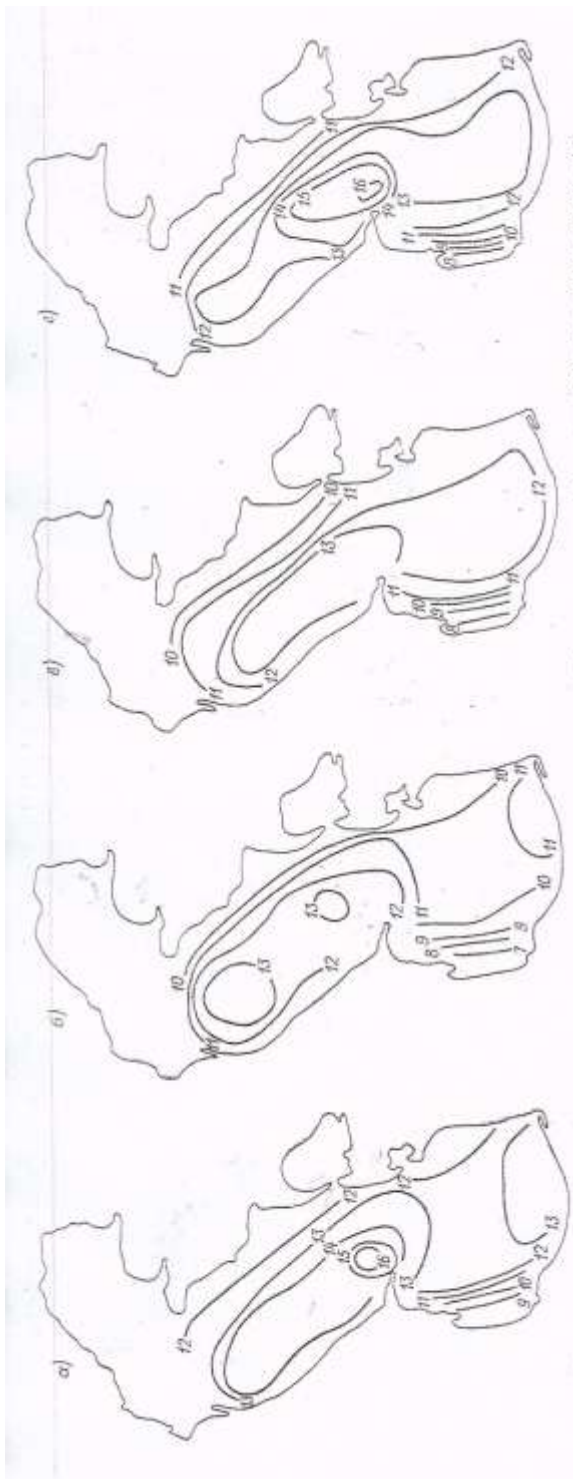


Рис. 1.20. Высота индивидуальных волн  $H_n$  (м), возможная 1 раз в 20 лет в январе (а), апреле (б), июне (в) и октябре (г).

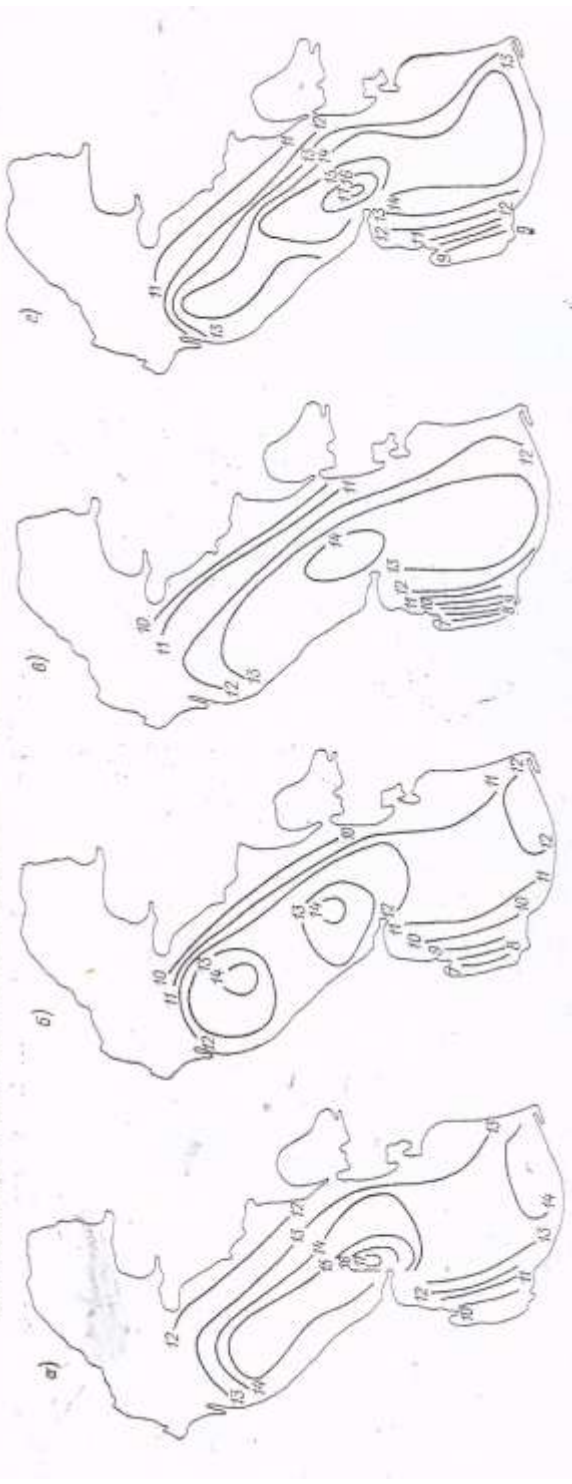


Рис. 1.21. Высота индивидуальных волн  $H_n$  (м), возможная 1 раз в 50 лет в январе (а), апреле (б), июне (в) и октябре (г).



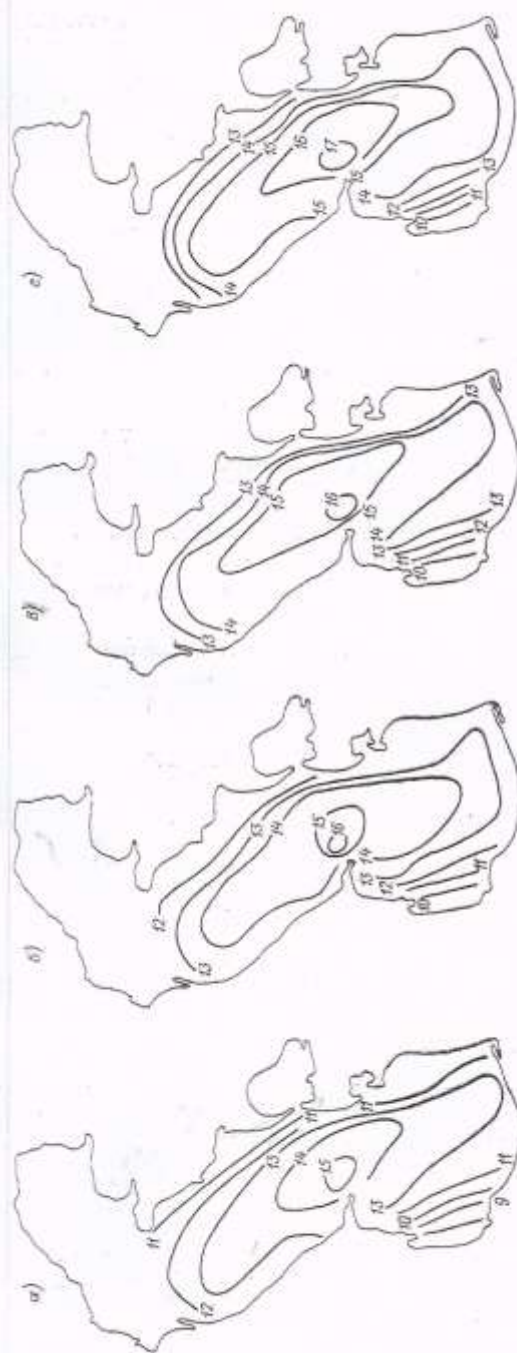


Рис. 1.22. Высота индивидуальных волн  $h_b$  (м), возможная 1 раз в 5 (а), 10 (б), 20 (в) и 50 лет (г).

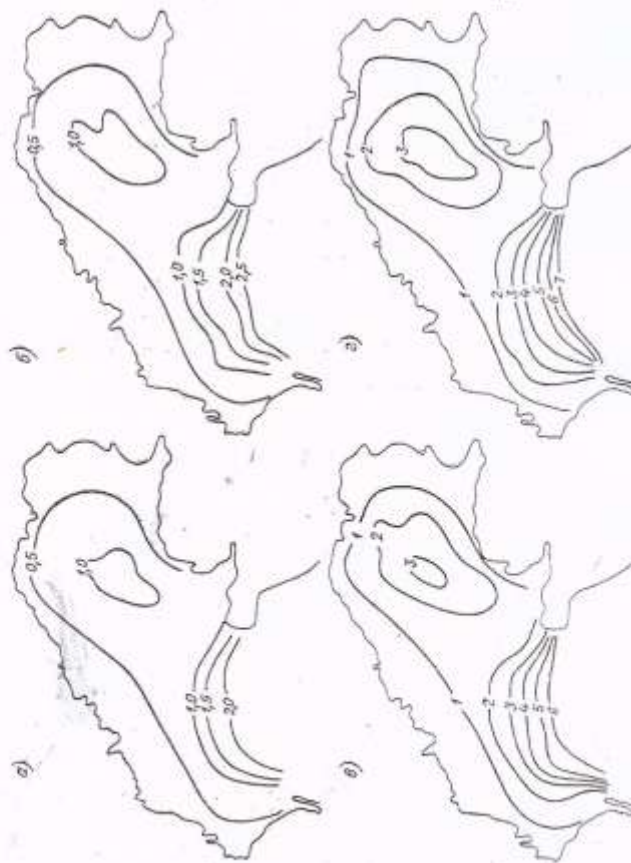


Рис. 1.23. Средняя высота волн  $h$  (м), возможная 1 раз в год (а) и в 50 лет (б), и максимальная высота волн  $h_{max}$  (м), возможная 1 раз в год (в) и в 50 лет (г).